

# DIFFUSION

Kristallabilität - tullagidurcupplationsrik.

Diffusio: - nördl. sprach. versch., atabulisch -  
atomistisches mechanismus - räumlich, el. -

vhanciatz

Atabulisch: folianode: pl.: nitens, oldidens / my -  
mildandulus, stl. j. mindig, ha. hæc. veltic.  
in repet. j. atm.:

1) Mijger. figuram morphas ac atomos (Meng.  
ideif tantum a köbereli):

2.) Atomi mechanismus: atomde rikān. & t. h. v. l. i.  
m. k. b. t. r. j. d. s. v. e. t. t. l. u. m. o. p. a. c. i. z. a. k. i. d. l. e. t.  
l. e. f. e. m. l. e. h. e. t. s. a. n. g. a. f. o. n. a. m. l. o. n. f. i. c. h. t. h. u. v. e. n. d.

Fick t. r. w. g. (Adolph Fick, 1858)

Diffusio: vander j. pl.: B. as A-ban.  
(waf A\* as A-ban. wop A(S-ban.)

$$j_B = -D_B \frac{\partial C_B}{\partial x}, \text{ och } C_B = N_B \frac{v_B}{V}$$

B atomok  
nöma/tetj.  
B atomok  
sæle: æbæl!  
nöma/tetj.

$$C_B: B \text{ t. r. f. p. k. koncentraciona } [C_B] = \frac{1}{m^3}$$

$$D_B: B \text{ diff. s. f. t. h. o. t. i. o. } [D_B] = \frac{m^2}{s}$$

$$j_B = -D_B \cdot \text{grad } C_B$$

Fälle II. time:

$$\frac{\partial c_B}{\partial t} = - \frac{\partial j_B(x)}{\partial x}$$

$$\frac{\partial c_B}{\partial t} = \frac{\partial}{\partial x} \left( D_B \frac{\partial c_B}{\partial x} \right), \quad \text{da } \frac{\partial D_B}{\partial x} = 0$$

$$\frac{\partial c_B}{\partial t} = D_B \frac{\partial^2 c_B}{\partial x^2}$$

$$3 \text{dim: } \frac{\partial c_B}{\partial t} = D_B \Delta c_B$$

Peldök: 1) Thin film solution (vektorielle mo.)

$$c_B = \frac{m_B}{2\sqrt{\pi D_B t}} \exp\left(-\frac{x^2}{4D_B t}\right)$$

Bottom  
recess

$$m_B = \int_{-\infty}^{+\infty} c_B(x, t) dx : \text{B okandozna}$$

$$c_B(x, 0) = \delta - f_0$$

2.) Filter:

Mitsch "help":  $0 \leq x < \infty$

$$-\infty < y < \infty$$

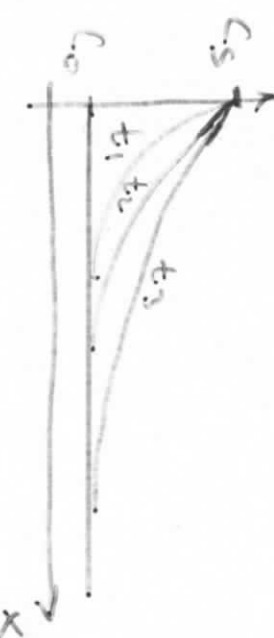
$$-\infty < z < \infty$$



Notäufeldecke:

$$c_B = c_0, \quad \text{für } t=0; 0 \leq x < \infty$$

$$c_B = c_s, \quad \text{für } x=\infty; 0 < t < \infty$$



$$c_B(x, t) = c_0 + (c_s - c_0) \left[ 1 - \exp\left(\frac{-x}{2\sqrt{D_B t}}\right) \right]$$

$$\lim_{x \rightarrow \infty} c_B(x, t) = c_s, \quad \lim_{x \rightarrow 0} c_B(x, t) = c_0$$

(No. elenőrzés:

$$1.) \quad c_B(0, t) = c_s \quad + - + \text{ál föltekél, mert } \text{erf}(0) = 0$$

$$2.) \quad c_B(x \rightarrow \infty, t) = c_0, \quad \text{mert} \lim_{x \rightarrow \infty} \text{erf}(x) = 1$$

Lényeges: 1.) Nem az  $x$ , hanem  $\frac{x}{2\sqrt{D_B t}}$  mutatja meg, hogy a konc.  $c_0$ -tól eltávolodott-e. Igy vékony műtáblára is jövő = fenti módszer, amig  $d \gg 2\sqrt{D_B t}$ !

$$2.) \quad \frac{c_B - c_0}{c_s - c_0} = 1 - \text{erf}\left(\frac{x}{2\sqrt{D_B t}}\right) \rightarrow c_B = \text{műg.} \rightarrow \frac{x}{2\sqrt{D_B t}} = \text{erf}$$

$$\text{Pl: } \frac{c_B - c_0}{c_s - c_0} = 1/2 \rightarrow x = 1.04\sqrt{D_B t}$$

A  $x_{1/2}$  behatolóni mélység n-revezéséhez  
 $n^2$ -nem időre van nélkül.

3.) Két eltérő koncentrációjú félter:

Thin film módszer superpozíciója

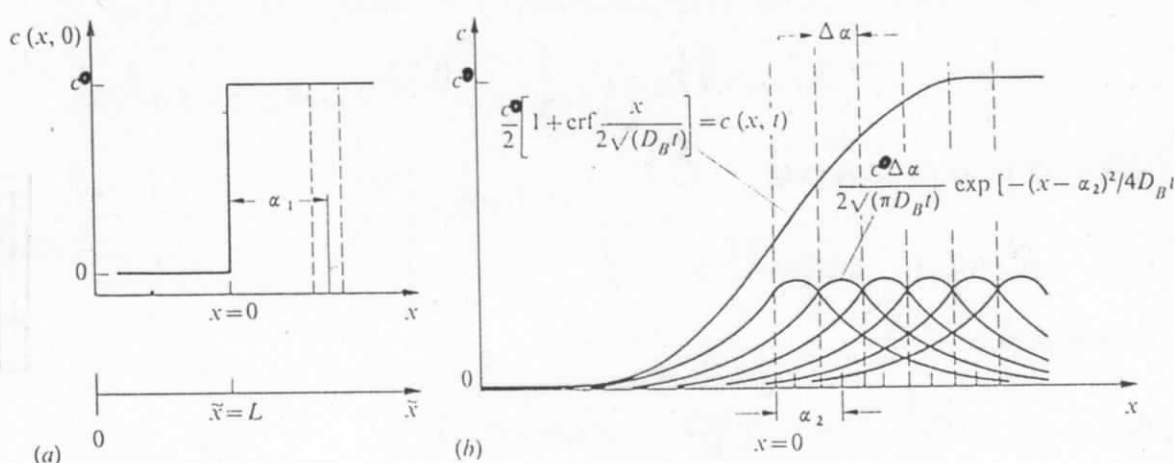


Fig. 8.1. (a) Initial distribution of solute and (b) distribution after diffusion time  $t$ , represented as the sum of thin film solutions for films of thickness  $\Delta\alpha$ . After [8.1].

## 1.) Homogenitás

$$t=0 : c_B(x) = C_0 + C_m \cos \frac{\pi x}{L} \quad (\lambda=2L \text{ hűtőhossz, konc. fluctuáció: } \pm \%)$$

Ha  $D_B$  független  $c_B$ -től és  $x$ -től:

$$c_B(x,t) = C_0 + C_m \exp\left(-\frac{\pi^2 D_B t}{L^2}\right) \cos \frac{\pi x}{L}$$

$$\text{Bmely } x : c_B - C_0 \sim e^{-t/\tau}, \text{ ahol } \tau = \frac{L^2}{D_B \pi^2}$$

$D_B$  növekedével  $\tau$  rövidek  $\rightarrow T$  halda

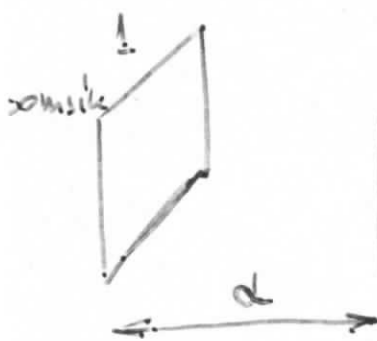
## A diffúzió atomi mechanizmusa

Az eddigiek kontinuum leírásban: folyadékban görbék ugyanilyen összetételekkel. Ott: ütközésekkel belövhetke a részvállatot kell minősülni.

Szilárdban: részhelyről egys mennyiségre.

Legfontosabb: vakancia mechanizmus.

Mechanizmustól függetlenül:



atomsik B konc.-ja (terhelés):  $C_B = N_B V_B$   
 $\Gamma$ : ötlagos ugrási frekvencia bmej.  
 B atomra:  $\langle \frac{\text{ugrások/sz.}}{s} \rangle$

1 silikon egys.-xi fel.-en:  $n_1 = (C_{B1} d)$   
 2 silikon - - - :  $n_2 = (C_{B2} d)$

Tekintsük  $\delta t \gg \frac{1}{\Gamma}$  időt!

1. síkon az upröst legyőző atomok néma:  $u_1 = n_1 \Gamma \delta t$

A lehetséges célhelyet néma = koord. néma; köböse 6.  
~ minden 6. fog az  $u_1$ -ból a 2. síkra ugrani.

$$\left. \begin{aligned} \varphi_{12} &= \left( \frac{1}{6} u_1 \right) = \frac{1}{2} u_1 \\ \varphi_{21} &= \left( \frac{1}{6} u_2 \right) = \frac{1}{2} u_2 \end{aligned} \right\} \left. \begin{aligned} \delta \varphi &= \frac{1}{2} (u_1 - u_2) = \frac{1}{2} \Gamma \delta t (n_1 - n_2) \\ f &= \frac{1}{2} \Gamma (n_1 - n_2) \end{aligned} \right.$$

$$j = \frac{1}{2} \Gamma \alpha (c_{B1} - c_{B2})$$

Feltételek:

- $\Gamma$  arányos a két síkon
- $\forall$  irányba arányos valamivel ugyanek.

Lépés  $\propto \perp$  a síkra:

$$c_{B2} = c_{B1} + \alpha \frac{\partial c_B}{\partial x}$$

$$j = - \frac{1}{6} \Gamma \alpha^2 \frac{\partial c_B}{\partial x}$$

$$D_B = \frac{1}{6} \Gamma \alpha^2 \quad \text{köbösre}$$

$$\text{Lényeg: } D_B \sim \Gamma$$

- Miért eredményez a konc. gradientis diffúziót?
- Nem irányítja a diffúziót, eredő áram csak orient, mert több B atom van az egyik síkon, mint a másikon.
- A fenti analízis megfelelően általában: ötvözés mechanizmusról nem tettük fel szemünket.
- Nincs hibánk a T minősége

## Márkápp:

1 dim. Brown-mozgás elvileghez:

m véletlen lépések minden irányban, x-telj. mentén.

B néven kez átlagosan; elmondás  $\bar{x}^2$ -es átlaga:

$$\bar{x}_m^2 = \alpha^2 \cdot m ; \quad (m \gg 1)$$

Összehasonlítva a thin film módszert kapott bonyolultabb  $\bar{x}^2$ -es átlag néhányével:

$$C_B(x) = \frac{m_B}{2\sqrt{\pi D_B t}} \exp\left(-\frac{x^2}{4D_B t}\right)$$

$$\bar{x}^2 = \frac{\int C_B(x) x^2 dx}{\int C_B(x) dx} = 2D_B t$$

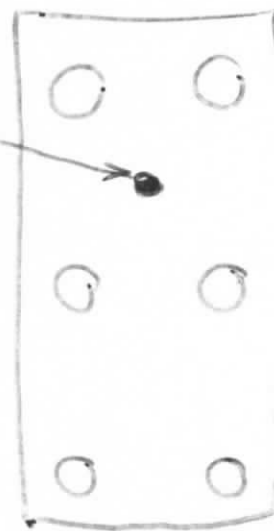
$$\begin{aligned} \alpha^2 m &= 2D_B t \\ m = \Gamma \cdot t &\end{aligned} \quad \left. \begin{array}{l} \\ \end{array} \right\} D_B = \frac{1}{2} \alpha^2 \Gamma$$

3 dim. véletlen bolzogással az  $\bar{x}^2$ -hez járóliket adó ugrásoknál most  $1/3$ -a ad járóliket

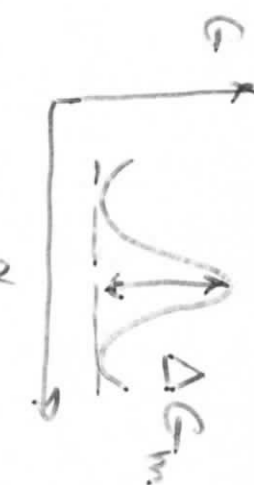
$$\bar{x}^2 - \text{kez} \approx D_B = \frac{1}{6} \alpha^2 \Gamma$$

## Umwelt: heterogen

$D$  nach Lösungspfeile  $\rightarrow$  tot normiert,  
 $d$  nach  $10^{-5} / \text{K}$  verknüpft



TS oben



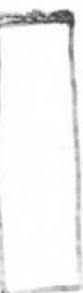
$\leftrightarrow$

$$\Gamma = z \rightarrow \exp\left(-\frac{\Delta G_m}{kT}\right), \text{ also } \rightarrow \text{a menge} \rightarrow \text{fraktionale}$$

Konsistenz:  $D = D_0 \exp\left(-\frac{Q}{kT}\right)$

$$Q = \Delta G_m = \Delta H_m - T \Delta S_m$$

$$D = D_0 \exp \frac{\Delta S_m}{k} \exp\left(-\frac{\Delta H_m}{kT}\right)$$

Öndiffusio: mene: 

häufigkeit  $(T-t)$   
 mitgen. aus don't  
 tracer

Dönkt & Vohancic: tödlich heterogen

(Mär. heterogen: keine hetero; direkt hetero.)

$$\Gamma_B = \gamma_0 \nu_{\text{vib. nyomás}} \cdot \text{gyakoriság (vakuumi, egys. atom-v. helyen)}$$

$\downarrow$

$$c_v(T) : \text{vakuum}$$

Atom termikus rezgésének függ.:  $v_0$  (= Dekad.  $10^{13} \text{ s}^{-1}$ )

Átlagráshoz nem elég a részegys. elj.ja:

termikus általálos  $\rightarrow \Delta G_{\text{vm}}$

$$v_v = v_0 \exp\left(-\frac{\Delta G_{\text{vm}}}{kT}\right) = v_0 \exp \frac{\Delta S_{\text{vm}}}{k} \cdot \exp\left(-\frac{\Delta H_{\text{vm}}}{kT}\right)$$

[Nyeregponton át megy az upás; lokális foton-spektrum V fölöttben  $\rightarrow v_v$ , amit a gyakorisága, hogy a keddő módon összegződik rezgésselből az atom eljussan a nyeregponti helyzetbe.]

$\exp \frac{\Delta S_{\text{vm}}}{k}$  elég függ a T-től  $\rightarrow v'_0$

$$c_v = \exp \frac{\Delta S_{\text{VF}}}{k} \exp\left(-\frac{\Delta H_{\text{VF}}}{kT}\right) = c_0 \exp\left(-\frac{\Delta H_{\text{VF}}}{kT}\right)$$

Így  $D_B = \frac{1}{6} \alpha^2 v'_0 c_0 \exp\left(-\frac{\Delta H_{\text{VF}} + \Delta H_{\text{vm}}}{kT}\right)$

$$D_B = D_0 \exp\left(-\frac{\Delta H_{\text{VD}}}{kT}\right)$$

Közöletileg minden ilyen T-függést találhat.

$$\Delta H_{\text{VD}} = \Delta H_{\text{VF}} + \Delta H_{\text{vm}} - \text{igazolja a kiszámítás}$$

( $\Delta H_{\text{VD}}$  felbontását kiszámítás alapján látta a vakuumi állás.)

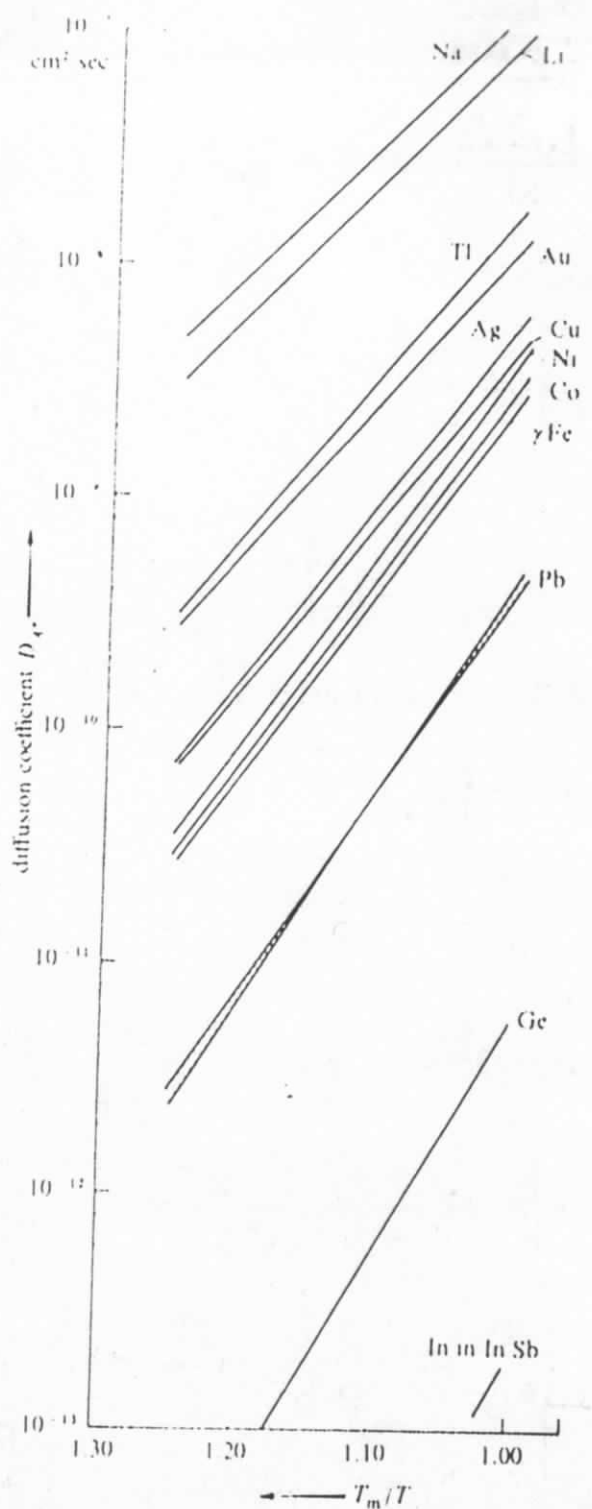


Fig. 8.3. Isotope diffusion coefficient against the reciprocal temperature.

$$(T/T_m)^{-1}$$

függvényben

ábrán olvasható párhuszamos  
egyenletek.

$$\Delta H_{VD} = \text{konst} \cdot T_m$$

$$\Delta H_{VD} = 16.5 L_m$$

↓  
dr. hő/atom

"16.5 atom olvadt  
állapotba kerül az öt-  
ugrásnál" — nem igaz!

Pl.: Cu :  $\Delta H_{VD} \approx 2 \text{ eV/atom}$

$$T_m = 1350 \text{ K};$$

C  $\alpha$ -Fe -ban:  $\Delta H_{VD} \approx 16.5$

$$D_{Cu} \approx 31 \cdot 10^{-6} \frac{\text{m}^2}{\text{s}} \exp\left[-\frac{200.3 \text{ eV}}{RT}\right]$$

D<sub>o</sub>: Interst. diffúzióval:

$$D_o = \frac{\alpha^2 v_o}{6} \exp(\Delta S_m/k)$$

$$\Delta S_m \approx 2 \div 3 \text{ J/K}$$

# Vakuumdiffusion:

$$c_\infty = \exp \frac{\Delta S_{\text{Vd}}}{k}$$

wenn  $D_0$ -bar.

$$\Delta S_{\text{Vd}} \sim 2k \rightarrow D_0 \sim 10^{-4} \text{ cm}^2 \text{ s}^{-1}$$

Konzentrationsprofil D-bar:  $\textcircled{1}$

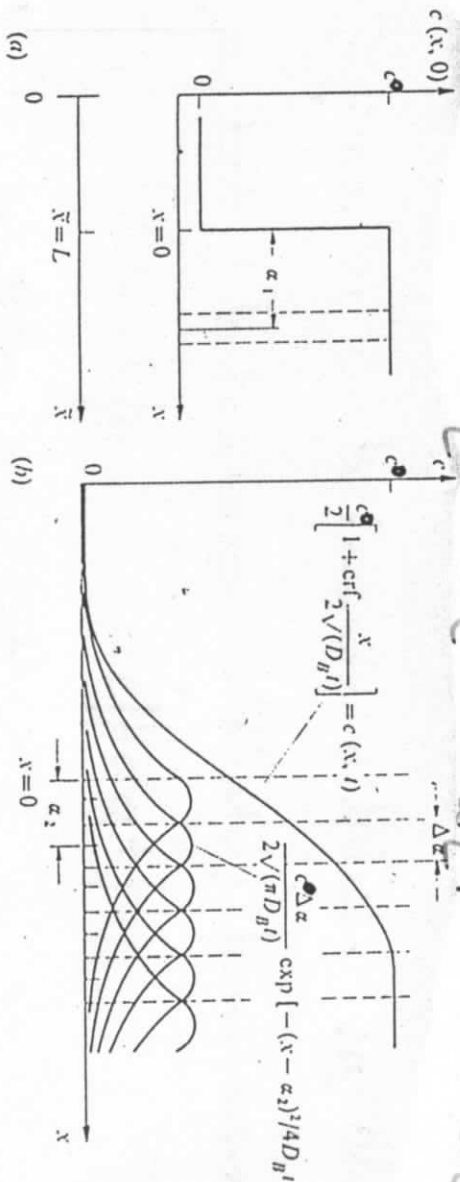
(Boltzmann-diffusionssgf.:

$$\frac{\partial c}{\partial t} = \frac{\partial}{\partial x} \left( D \frac{\partial c}{\partial x} \right)$$

$$\eta = \frac{x}{\sqrt{t}} \quad \text{für Verteilung normal diff.}$$

$$-\frac{x}{2t^{3/2}} \frac{dc}{d\eta} = \frac{1}{\sqrt{t}} \frac{d}{d\eta} \left( D \frac{dc}{d\eta} \right); \text{ wofür}$$

$$-\frac{n}{2} \frac{dc}{d\eta} = \frac{d}{d\eta} \left( D \frac{dc}{d\eta} \right) \rightarrow d \left( D \frac{dc}{d\eta} \right) = -\frac{n}{2} dc$$



Hatentfeldeffekt:  $c = c_0$  für  $x > 0, t = 0$  |  $c = 0$  für  $x < 0, t = 0$

was:  $c = c_0$  hat  $\eta \rightarrow \infty$  |  $c = 0$  hat  $\eta \rightarrow -\infty$

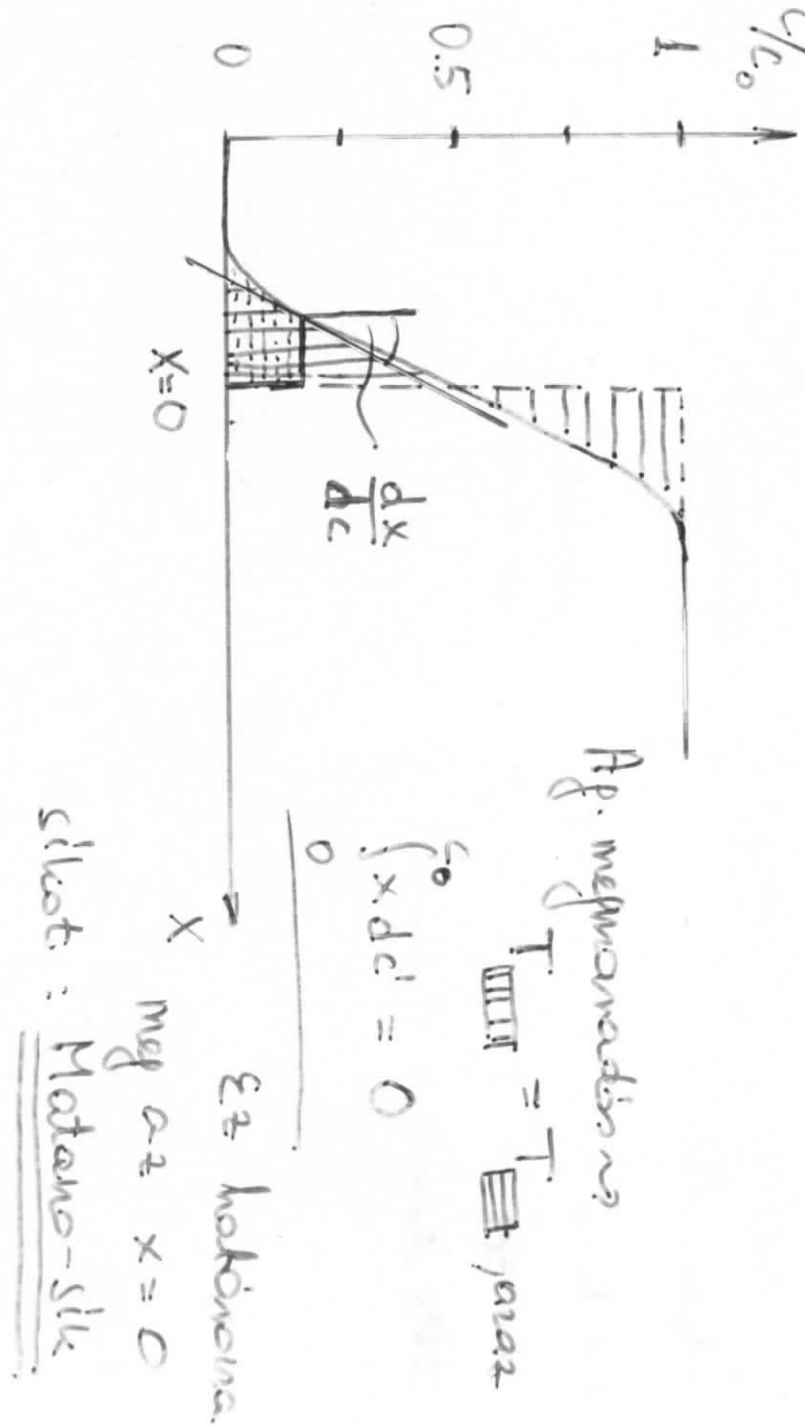
$$\tilde{D}(c) = -\frac{1}{2} \left. \frac{d\Omega}{dc} \right|_{c=0}$$

$$\eta = \frac{x}{Nt}$$

is rögzített t -nél minden:

$$\tilde{D}(c) = -\frac{1}{2t} \left. \frac{dx}{dc} \right|_{c=0}$$

$\tilde{D}(c) - t$  grafikonon a hűtési elvileg:



D a<sub>2</sub> u. n. hőközönök diffúzió egütthetősége a

a két (hőközönök oldható) komponensek.

{ Intendiffúzió coefficient }

$\tilde{D}$  egyetlen egütthető, a D<sub>A</sub> is  $\tilde{D}_B$  egütthető  
hőközönök hőközönök meg.

A: Natürliche Wärmeleitung

Wärmedämmung

A: Schloss: z.B. Kupfer, Eisen, Aluminium

metallische Leitfähigkeit, d.h. leitfähig

Arbeitstechnik: eingeschlossene Stoffe sind schlecht

op.-i komprimieren durch

$$\boxed{A} \quad \boxed{B}$$
$$T_m^A < T_m^B$$



mittlerer Wärmetransport, d.h. leitfähig

negative Wärmeleitung



mittlerer Wärmetransport, d.h. leitfähig

Bolo: egyszerűbb töltet  
V termelődik a gyorsabban.

differenciáló ötödik előírás  
miatt.

### Kirchhoff - effektus

A vonalbaktári rendszer hagyományos:



Az x rendszerek:



$$j_B(x=0, t) = -\tilde{\tau}_B \frac{\partial C_B}{\partial x} \Big|_{x=0} = -\tilde{\tau}_B \frac{\partial C_B}{\partial x} \Big|_{x=L(t)}$$

Az x rendszerek:

$$j_B(x=L, t) = -\tilde{\tau}_B \frac{\partial C_B}{\partial x} \Big|_{x=L} + \tilde{\tau}_B \frac{\partial C_B}{\partial x} \Big|_{x=L(t)}$$

Hasonló eggyelőz az A komponense.

$$c_i = \underset{\substack{\uparrow \\ \text{atomhány}}}{{N}_v} v_i \xrightarrow{\substack{\leftarrow \text{atomhány} \\ \text{atomosítás/tér}}} \rightarrow c_A + c_B = {N}_v$$

$$\frac{\partial N_v}{\partial t} \Rightarrow \frac{\partial c_B}{\partial t} + \frac{\partial c_A}{\partial t} = - \left( \frac{\partial j_B}{\partial z} + \frac{\partial j_A}{\partial z} \right) = \frac{{N}_v}{\partial z} \left[ \tilde{D}_A \frac{\partial c_A}{\partial z} + \tilde{D}_B \frac{\partial c_B}{\partial z} - U \underbrace{(c_B + c_A)}_{\substack{\rightarrow \\ c}} \right]$$

Ha a teljes színűség nem változik:  $\frac{\partial N_v}{\partial t} = 0$   
 $[ ] = \text{áll.}$

$$z=0 \text{-nél} \quad \frac{\partial c_i}{\partial z} = 0 \quad \text{és} \quad U=0 \Rightarrow [ ] = 0$$

$$U = \frac{1}{{N}_v} \left( \tilde{D}_A \frac{\partial c_A}{\partial z} + \tilde{D}_B \frac{\partial c_B}{\partial z} \right) \quad \text{I.}$$

---


$$v_i = \frac{c_i}{{N}_v} \quad \text{és} \quad {N}_v = c_A + c_B = \text{konst miatt:}$$

$$U = \left( \tilde{D}_A - \tilde{D}_B \right) \frac{\partial v_A}{\partial z} \quad \underline{\text{DARKEN I.}}$$

---


$$j_B(z=L, t) = - \tilde{D}_B \frac{\partial c_B}{\partial z} \Big|_{z=L} + U c_B \Big|_{z=L} \quad \text{II.}$$

$$\frac{\partial c_B}{\partial t} = - \frac{\partial}{\partial z} j_B(z) \quad \text{III.}$$

I., II., III. - ből:

$$\frac{\partial c_B}{\partial t} = \frac{\partial}{\partial x} \left[ (\tilde{D}_B c_A + D_A c_B) \frac{\partial c_B}{\partial x} \right]$$

Ezt összessítve a Matano-analízisnél kapott

$$\frac{\partial c}{\partial t} = \frac{\partial}{\partial x} \left( \tilde{D} \frac{\partial c}{\partial x} \right)$$
 egyenlettel:

$$\boxed{\tilde{D} = \gamma_A \tilde{D}_B + \gamma_B \tilde{D}_A}$$

DARKEN II.

Mire jó?

1.) Mérjük v-t és  $\tilde{D}$ -t; kinemelhetjük  $\tilde{D}_A$  és  $\tilde{D}_B$ -ot.

PL: Cu-22 at% Zn

785°C

$$\frac{\tilde{D}_{Zn}}{\tilde{D}_{Cu}} = 2.3$$

(Cu-22 at% Zn)

$$\frac{\tilde{D}_{Zn}}{\tilde{D}_{Cu}} = 7$$

$$\frac{\tilde{D}_{Zn} (\gamma_{Zn} = 22\%)}{\tilde{D}_{Zn} (\gamma_{Zn} \rightarrow 0)} = 17$$

Erősen függ az összetételelől, de  $\tilde{D}_{Zn}$  mindig nagyobb, mint  $\tilde{D}_{Cu}$ .

2.)  $\tilde{D}_A \neq \tilde{D}_B$  eset rendszer iparosítik.  
 Ha egymás helyre leme,  $\tilde{D}_A = \tilde{D}_B$  adódha.  
 Ennél bírunk rögzítő a V-mechanizmust.



Ha  $j_A > j_B$ , van egy eredő  
 V-szám, amely az eredő  
 ag.-számmal ellentétes.

$$j_A + j_B + j_V = 0.$$

V keltori és elti nési folyamatai is nek-  
 pet játszanak.

(Nem teljesen érthető az  $N_0 = C_A + C_B = \text{dil}$ )

3.)  $\tilde{D} = v_B \tilde{D}_A + v_A \tilde{D}_B$  miatt  
 pl.  $v_B \rightarrow 0 \rightarrow \tilde{D} \rightarrow \tilde{D}_B$ .

Q.: Homogenitás lefolyását a  $\tilde{D}_B$  határozza  
 meg.

# Difusión en sólidos polimórficos

Siempre vi dir. en sol. es bimórfico e difusivo.

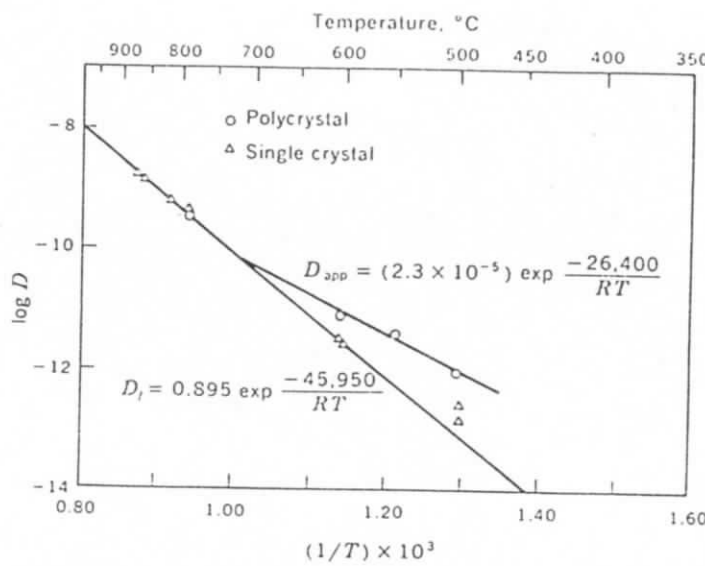


figure 2-14. Values of the self-diffusion coefficient obtained for silver using single crystal and polycrystal samples. (After D. Turnbull, in "Atom Movements," p. American Society for Metals, Metals Park, Ohio, 1951.)

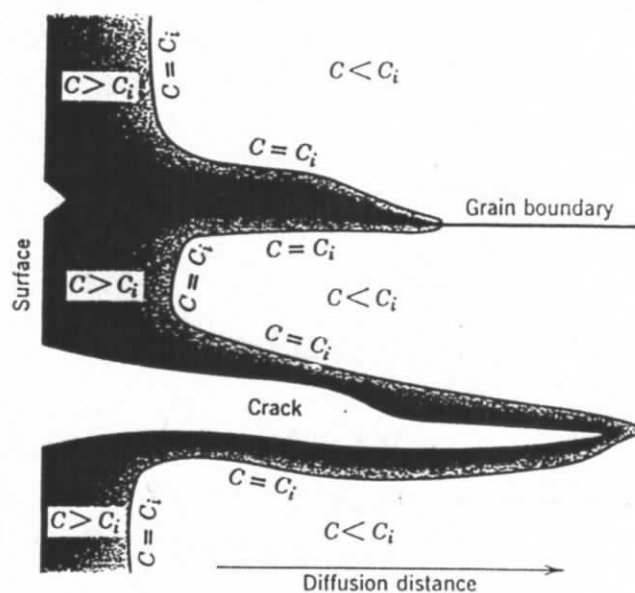


Figure 5.4 Equal-concentration profile of surface, grain boundary, and bulk diffusion in the same solid.

GB mantén su isotropía elástica, pero difundir a membrana de borde fijo, × inhomog.

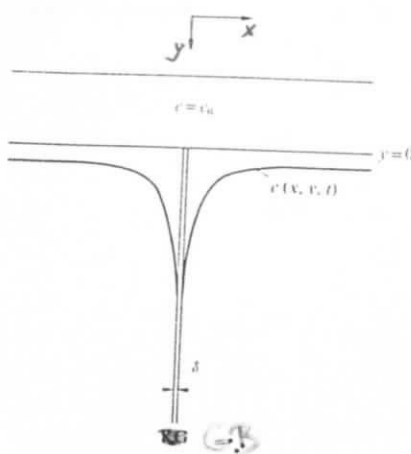
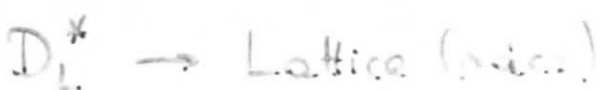


Fig. 8.16. Schematic concentration profile for diffusion across a grain boundary (y = 0) preferentially along a grain boundary (y-direction) of thickness  $\delta$ .

Statinálható:

$$c = c_0 + \frac{2}{\pi} C_0 \exp\left(-\frac{y^2}{4D_L^* t}\right)$$

Dif. sejt:



Csökkenés / hullás:

Légyen  $D_L^* \ll D_G^*$

A GB egy elemekben:

$$\begin{aligned} \frac{\partial c}{\partial t} &= -\frac{\partial j_x}{\partial y} - \frac{2}{\delta} j_x = \\ &= D_G^* \frac{\partial^2 c}{\partial y^2} + \frac{2 D_L^*}{\delta} \left. \frac{\partial c}{\partial x} \right|_{x=\pm \frac{\delta}{2}} \end{aligned}$$

A GB mentén gyorsan kiadásban lépő kibocsátás előlás;  $c(x=0, y) = c_0$ ; innen x irányban diffuzív ügy, mint a thin film módonál:

$$c(x, y, t) = c_0 \exp\left(-\frac{y^2}{((\pi D_L^* t)^{1/4} (\delta D_C^* / 2 D_L^*)^{1/2})^2}\right).$$

$$\cdot \left[ 1 - \exp\left(\frac{x}{2\sqrt{D_L^* t}}\right) \right]$$

Konsistenz: folgert sich aus Verteilung  
nicht der intergranularen Mischung:

$$\bar{c}(y, t) = \int_{-\infty}^{\infty} c(x, y, t) dx,$$

( $y$  auf einer Länge  $L$ )  $\Rightarrow$  konst.

$\ln \bar{c} - y$  eingesetzt

[ $\ln c - y^2$  keine eingesetzte diff.]

$D_L^*$  isometrisch  $D_G^*$  mäandriert;

$D_S$ : röhrenförmig

#### 84 Thermodynamics of Structure

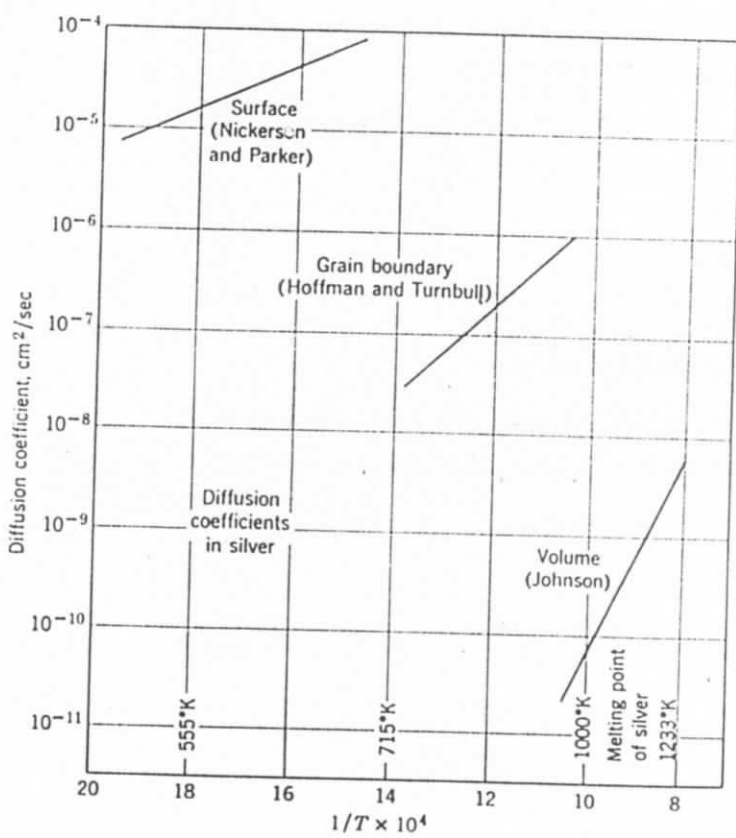


Figure 5.5 Diffusion coefficients in silver.

$$D = D_0 e^{-\frac{Q}{kT}}$$

$Q_L > Q_G > Q_S$   
nur sch. folgt

$$Q_L : Q_G : Q_S \approx 1 : 3 : 2$$

$$1 : 3 : 2$$

$$D_{0L} > D_{0G} > D_{0S}$$

St. holzartig - bzw.  
abgebaut  $D_G \gg D_L$

PL: zu 90°C an

$$D_G^* \sim 10^6 D_L^*$$

$$Q_G = 53 \text{ kJ/mol}$$

$$Q_L \approx 96 \rightarrow \dots$$

$\ln \frac{C}{C_0} = -k t$  exp(- $\tau$ )  $\rightarrow$  monodelonge:

$$(D_L^* +)^{1/2} = \tau^{1/2} \cdot k^{1/2}$$

$$L = \frac{D_G^* \delta}{2 D_L^* (D_L^* +)^{1/2}}$$

GB-diff. aktiver Kinetikas;  $\ln \frac{C}{C_0} \gg 1$ ,  
annak elenke, hogy  $(D_L^* +)^{1/2} \gg \delta$ .

X: GB-ban levo atomok hozzada

$$X D_G > D_L$$

Orientatív függés a hozzájáról (det.):

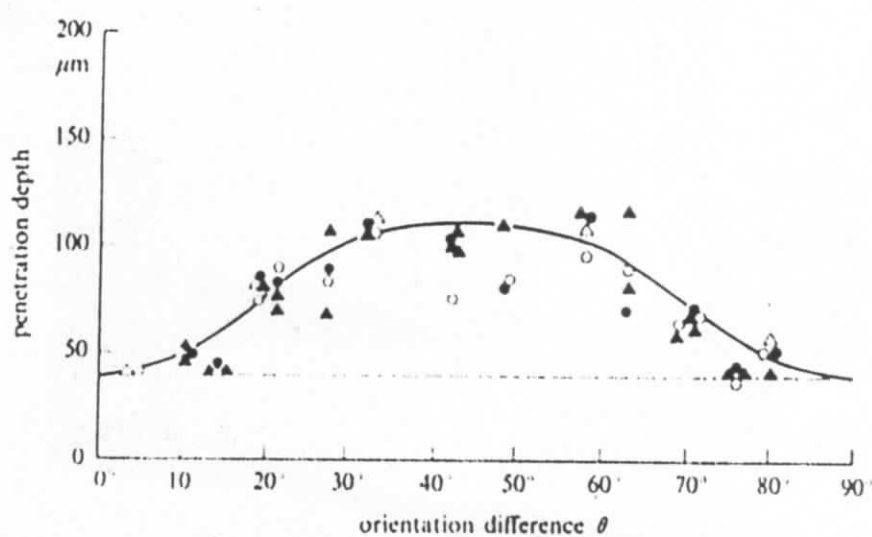


Fig. 8.18. Penetration depth of a Ni isotope in boundaries of nickel bicrystals with different orientation difference  $\theta$  (7.8 h at 1100 °C). After [8.6].

Az akt. en. különbség:  $Q_G$ ;  $Q_L$

$$\Delta H_{VF}^G < \Delta H_{VF}^L \quad (\text{V-GB}; \text{V-dinl. hoz.})$$

$$\text{Lényegesebb: } \Delta H_{Vm}^G < \Delta H_{Vm}^L$$